

# بررسی ریزساختاری، سختی و رفتار سایشی آلیاژ Ti-6V-4Al تحت شرایط

## مختلف عملیات حرارتی

یزدان شجرا، وحید ابوبی مهریزی، امیرحسین کریمی لیواری، احسان بهمنی

گروه مهندسی مواد دانشگاه آزاد اسلامی واحد کرج، کرج، ایران

(دریافت مقاله: ۹۶/۰۲/۱۹ - پذیرش مقاله: ۹۶/۰۶/۱۱)

چکیده

در این تحقیق، اثر شرایط مختلف عملیات حرارتی بر میکروساختار، سختی و مقاومت به سایش آلیاژ Ti-6V-4Al بررسی شد. برای این منظور آنیل انحلالی در بازه دمایی  $800^{\circ}\text{C}$  الی  $1050^{\circ}\text{C}$  به مدت یک ساعت انجام شد و سپس نمونه‌ها در هوا و آب کوئنچ شدند. یکی از نمونه‌ها در دمای  $550^{\circ}\text{C}$  به مدت چهار ساعت پیراسازی شد. بررسی‌های ریزساختاری توسط میکروسکوپ نوری (OM) و الکترونی رویشی (SEM) نشان داد که عملیات آنیل انحلالی در دمای  $800^{\circ}\text{C}$  منجر به رشد محدود رسوبات بدون تغییر ریزساختار و افزایش سختی می‌گردد. همچنین افزایش دمای آنیل انحلالی و کوئنچ در آب باعث افزایش سختی و ایجاد ریزساختار دوتایی  $\alpha/\alpha'$  می‌شود. آنیل انحلالی در دمای  $1050^{\circ}\text{C}$  منجر به تشکیل فاز مارتنتیت گردید که با انجام عملیات پیراسازی تبدیل به فاز  $\beta$  نامنظم می‌شود و به علت این تحول فازی، سختی  $47\%$  نسبت به نمونه شاهد افزایش یافت. سختی را در پی دارد. آزمون سایش پین روی دیسک تحت سه نیروی 20N، 30N و 40N و سرعت ثابت 0.3m/s. نتایج تست سایش و بررسی میکروسکوپی سطوح فرسوده نشان داد که مکانیزم سایش توسط ریزساختار کنترل می‌گردد و مقاومت در برابر سایش به نیازان سختی واپس نیست. همچنین بیشترین مقاومت به سایشی مربوط به نمونه آنیل شده در دمای  $950^{\circ}\text{C}$  و کوئنچ شده در آب است. مکانیزم سایشی در تمام نمونه‌ها در اکثر بارگذاری‌ها مخلوط مکانیزم خراشان و سایش اکسیدی بود.

واژه‌های کلیدی: مقاومت به سایش، Ti-6Al-4V، آنیل انحلالی، ریزساختار، پیراسازی.

## Study of Microstructure, Hardness and Wear Behavior of Ti-6Al-4V under Various Heat Treatment Conditions

**Yazdan Shajari, Vahid Aboei Mehrizi, Amir Hossein Karimi Livarei, Ehsan Bahmani**

*Department of Material Engineering, Azad University of Karaj, Karaj, Iran*

(Received 9 May 2017, accepted 2 September 2017)

### Abstract

In this study, the effect of various heat treatment conditions on the microstructure, hardness and wear resistance of the Ti-6Al-4V alloy was investigated. For this purpose, solution anneal was done in temperature range of  $800^{\circ}\text{C}$  to  $1050^{\circ}\text{C}$  for 1 hour and then specimens were quenched in the air and the water. One of the specimens was aged in  $550^{\circ}\text{C}$  for 4 hours. Microstructural investigations by optical microscope (OM) and scanning electron microscope (SEM) showed that the solution annealing treatment at  $800^{\circ}\text{C}$  leads to limited growth of precipitates without changing the microstructure and increase of hardness compared to the control sample. Also, increasing the solution annealing temperature and quenching in water causes increase of hardness and creation of  $\alpha$  and acicular martensite ( $\alpha'$ ) dual microstructure; Solution annealing in  $1050^{\circ}\text{C}$  leads to formation of martensite phase that changes to irregular  $\beta$  phase by performing aging treatment and due to this phase transformation hardness increased by 47% compared to control sample. Wear test of pin-on-disk was performed under three forces of 20N, 30N and 40N and constant speed of 0.3m/s. Wear test results and microstructural investigation of worn surfaces showed that wear mechanism was controlled by microstructure and wear resistance is not dependent on hardness; Also, the highest wear resistance is related to the sample annealed in  $950^{\circ}\text{C}$  and quenched in water. Wear mechanism in all samples in most of the loads was a mixture of abrasive mechanism and oxide wear.

**Keywords:** wear resistance, Ti-6Al-4V, solution annealing, microstructure, aging.

**E-mail of Corresponding author:** yazdan.shajari@yahoo.com.

## مقدمه

است. این فاز معمولاً به جهت ارتقا مقاومت در برابر خستگی و خوردگی در Ti-6Al-4V ایجاد می‌گردد. حال اگر این سرعت سرد کردن کاهش یابد ساختار دوتایی  $\alpha+\beta$  با احتمال حضور درصد بسیار ناچیزی از فاز  $\alpha$  سوزنی در این آلیاژ مشاهده می‌گردد. تحقیقات قبلی نشان دادند که فاز  $\alpha$  سوزنی از هر دو فاز  $\alpha$  و  $\beta$  سخت تر می‌باشد. رفتار تربولوژیکی آلیاژ Ti-6Al-4V با تشکیل  $\alpha$  سوزنی و کاهش درصد فاز  $\beta$  بهبود می‌یابد [۱۱ و ۱۰].

رفتار مکانیکی تمام آلیاژهای صنعتی تحت تاثیر ریزساختار حاکم بر آنان است. این بدان معناست که می‌توان با انجام یک عملیات حرارتی مناسب و دست‌یابی به ساختار بهینه به خواص مکانیکی مدنظر دست پیدا کرد. در آلیاژ Ti-6Al-4V با یک عملیات حرارتی ساده می‌توان ساختار  $\alpha+\beta$  را در دمای ۹۸۰ درجه سانتی‌گراد از طریق دگرگونی فاز  $\beta$  اصلاح نمود. پس از حرارت دهی در دمای ۹۵۰ درجه سانتی‌گراد و کونچ در هوا و پیرسازی ساختاری متتشکل از  $\alpha$  اولیه،  $\beta$  و مقادیر کمی  $\alpha$  سوزنی ایجاد می‌شود. در صورتی که کونچ در آب صورت گیرد مقدار  $\alpha$  سوزنی افزایش می‌یابد. تشکیل مارتنتیت از  $\beta$  معمولاً در دمای ۹۵۵ درجه سانتی‌گراد و سرعت سرد کردن‌های سریع اتفاق می‌افتد که ساختار بسیار سختی را منتج می‌شود. در صورت ادامه پیدا کردن پیرسازی ( over age ) فاز  $\beta$  ناپایدار به  $\alpha$  ثانویه تبدیل می‌گردد [۱۰ و ۱۲].

در تحقیق حاضر با توجه به مقاومت به سایشی نامناسب این آلیاژ، سعی بر آن بوده است تا با انجام عملیات حرارتی‌های آنیل ناقص، آنیل کامل و آنیل انحلالی به همراه پیرسازی در سرعت‌های کونچ متفاوت و دست‌یابی به ساختارهای مختلف، نقش ریزساختار آلیاژ Ti-6Al-4V بر مقاومت به سایشی پیش بر روی دیسک این آلیاژ در سه بار مختلف مورد بحث قرار گیرد.

تیتانیوم و آلیاژهای آن به جهت برخورداری از خواص منحصر به فردی مانند نسبت استحکام به وزن بالا و مقاومت در برابر خوردگی جایگاه ویژه‌ای را در صنایع مختلف دارند. آلیاژهای تیتانیوم از نظر دارا بودن خواص مهندسی با موادی نظیر فولادهای ضد زنگ، آلیاژهای پایه نیکل و کامپوزیت‌های پیشرفته برابری می‌کنند، اما به جهت هزینه بالای فرآوری تیتانیوم و قیمت بالای قطعات آن؛ این مواد با آلیاژهای آلومینیوم و فولادها تعویض می‌گرددند [۱-۴].

یکی از آلیاژهای مهم و پر مصرف پایه تیتانیوم، آلیاژ Ti-6Al-4V است، که به صورت گسترش در صنایع هواپضا، نظامی، توربین‌های گازی، تجهیزات پزشکی و خودرو سازی مورد استفاده قرار می‌گیرد [۳ و ۵-۶]. آلیاژ Ti-6Al-4V دارای خواص بی نظیری من جمله چگالی کم، استحکام بالا، چقرمگی مناسب و مقاومت عالی در برابر خوردگی است. در کنار مزیت‌های بالا این آلیاژ مقاومت مناسبی در برابر سایش از خود نشان نمی‌دهد [۳]. به همین جهت محققین با عملیات‌های سطحی متعددی از قبیل کاشت یون، اعمال پوشش TiN، ذوب سطحی، آلیاژ GTAW و کامپوزیت‌سازی سطحی با لیزر و GTAW طبیعت سطح را تغییر داده و مقاومت در برابر سایش را بهبود بخشیده‌اند [۴ و ۳ و ۷].

یکی از مکانیزم‌های زوال قطعات صنعتی سایش است، سایش را می‌توان کاهش وزن یک ماده در اثر حرکت مماسی بر روی ماده سخت تر دانست [۸]. مقاومت در برابر سایش جزو خواص بنیادی یک ماده نیست و همواره می‌توان با انجام عملیات‌های تکمیلی آن را بهبود بخشید. یکی از راه‌های افزایش مقاومت در برابر سایش اصلاح ریزساختار از طریق عملیات حرارتی است [۹]. آلیاژ Ti-6Al-4V معمولاً دارای ساختار  $\alpha+\beta$  است. اگر سرعت انجاماد و یا سرعت کونچ در عملیات حرارتی بالا باشد فاز  $\alpha$  سوزنی پدید می‌آید که به  $\alpha'$  و یا مارتنتیت مشهور

جدول ۱. ترکیب شیمیایی آلیاژ Ti-6Al-4V استفاده شده در این

تحقیق بر حسب درصد وزنی.

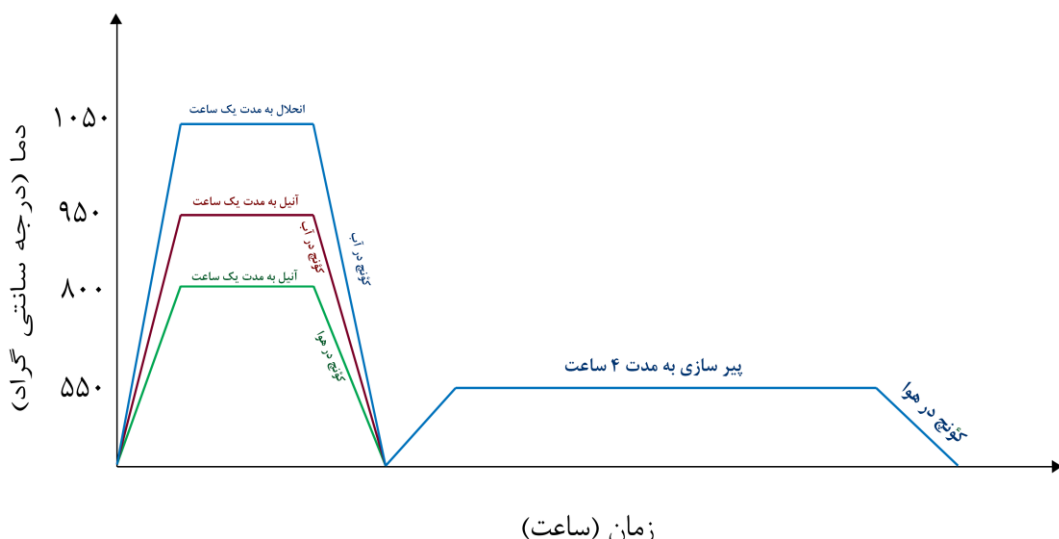
عنصر	Al	V	C	N	O	Fe	H	Ti
درصد	۶/۰۰	۴/۲۰	۰/۰۳	۰/۰۱	۰/۱۵	۰/۱۰	۰/۰۰۳	پایه
وزنی								

### روش تحقیق

ترکیب شیمیایی آلیاژ Ti-6Al-4V بر حسب درصد وزنی در جدول ۱ نشان داده شده است. نمونه‌هایی مکعبی شکل در ابعاد  $5 \times 5 \times 5$  میلی‌متر تهیه گردید. به منظور دست‌یابی به سطوح صاف قطعات سنگ زده شدند.

جدول ۲. شرایط عملیات حرارتی نمونه‌ها در تحقیق حاضر.

کد نمونه	شرایط عملیات حرارتی
۱	بدون عملیات حرارتی (نمونه شاهد)
۲	آنیل در دمای ۸۰۰ درجه سانتی گراد به مدت ۱ ساعت و کونج در هوا
۳	آنیل در دمای ۹۵۰ درجه سانتی گراد به مدت ۱ ساعت و کونج در آب
۴	انحلال در ۱۰۵۰ درجه سانتی گراد به مدت ۱ ساعت و کونج در آب و پیرسازی در ۵۵۰ درجه سانتی گراد به مدت ۴ ساعت و کونج در هوا



شکل ۱. شماتیک چرخه‌های مختلف عملیات حرارتی.

برای متالوگرافی نمونه‌ها پس از آماده‌سازی توسط محلول Kroll<sup>۱</sup> با ترکیب  $\text{H}_2\text{O}(92\text{ml}) + \text{HF}(2\text{ml}) + \text{HNO}_3(6\text{ml})$  در بازه زمانی ۲۰ تا ۱۵۰ ثانیه اچ شدند. ساختار میکروسکوپی نمونه‌ها توسط میکروسکوپ نوری (OM) و میکروسکوپ الکترونی روبشی (SEM) مدل

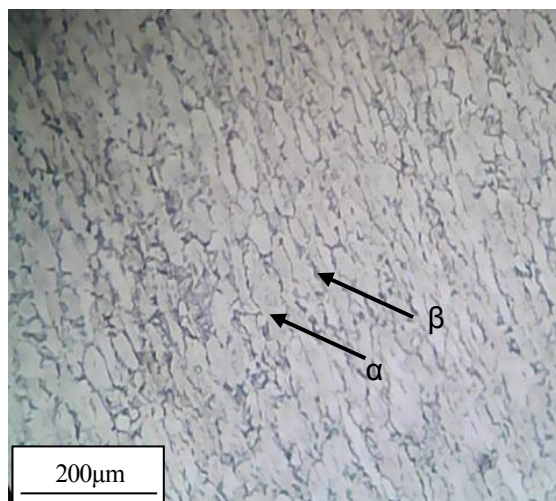
مطابق با شرایط ذکر شده در جدول ۲ قطعات تحت عملیات حرارتی قرار گرفتند. شماتیک چرخه‌های مختلف عملیات حرارتی در شکل ۱ نشان داده شده است. برای عملیات حرارتی از کوره مدل F11L تولید شده توسط شرکت آذر کوره با دقت دمایی  $\pm 4$  درجه سانتی گراد استفاده شد.

<sup>1</sup>Kroll

### تحلیل نتایج

#### ریزساختار

ریزساختار آلیاژ Ti-6Al-4V معمولاً تشکیل شده از دو فاز  $\beta + \alpha$  است [۱۰]. تصویر OM ریزساختار هم محور فازهای  $\alpha$  و  $\beta$  نمونه ۱ که در شکل ۳ نشان داده شده است مovid این موضوع است. مناطق روشن فاز  $\alpha$  و خطوط تیره بین مناطق روشن فاز  $\beta$  را نشان می‌دهند.



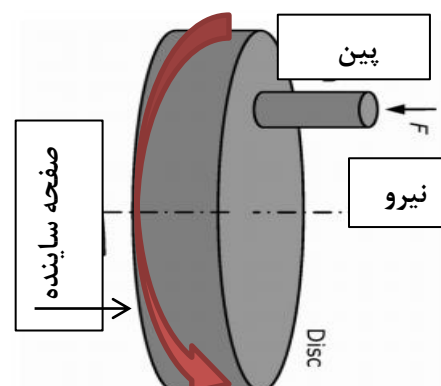
شکل ۳. تصویر میکروسکوب نوری از ساختار  $\alpha + \beta$  نمونه شاهد در بزرگنمایی ۵۰۰ برابر.

دمای استحاله  $\beta \rightarrow \alpha$  برای آلیاژ Ti-6Al-4V حدوداً ۱۰۰۰ درجه سانتی گراد است [۱۰]، لذا انجام عملیات حرارتی در دمای پایین‌تر از استحاله منجر به تغییر ساختار نمی‌گردد. با توجه به این‌که دمای تشکیل مارتزیت ( $M_s$ ) در بازه ۵۷۵ تا ۶۵۰ درجه سانتی گراد است، در صورت بالا بودن سرعت سرد شوندگی مانند کؤنج در آب و یا تحت تبرید زیاد می‌توان انتظار تشکیل ساختار مارتزیتی را داشت [۱۵ و ۱۶]. با توجه به این‌که نمونه ۲ در دمای ۸۰۰ درجه سانتی گراد (پایین‌تر از دمای استحاله  $\beta \rightarrow \alpha$ ) و کؤنج آن در هوای هیچ‌گونه مارتزیتی در ساختار مشاهده نمی‌گردد و ساختاری مشابه با ساختار نمونه ۱ را ارایه می‌دهد. در شکل ۴-الف، تصویر OM نمونه ۲ نشان داده شده است که شبیه به ساختار نمونه ۱ در شکل ۳ است.

Seron AIS2300 طرقی تفکیک انرژی EDS مورد بررسی قرار گرفت. جهت تعیین سختی نمونه‌ها و بررسی اثر عملیات حرارتی و ریزساختار گوناگون بر سختی، سختی سنجی در مقیاس ویکرز توسط دستگاه کوپا<sup>۲</sup> مدل UVI بر اساس استاندارد ASTM E92 تحت بار ۱۰ کیلوگرم و زمان ۱۵ ثانیه انجام شد [۱۳]. از هر نمونه پنج آزمون سختی سنجی بعمل آمد که میانگین آن گزارش می‌گردد.

برای بررسی مقاومت سایشی نمونه‌ها از آزمون پین بر روی دیسک چرخشی مطابق با استاندارد ASTM G99 استفاده گردید [۱۴].

در شکل ۲ طرح شماتیک آزمون سایش استفاده شده در این تحقیق نشان داده شده است. برای سطح سایند در این تحقیق از فولاد AISI 1.3505 سخت شده با سختی ۶۰ راکول C استفاده شد. آزمون سایش در سه بار اعمالی ۲۰، ۳۰ و ۴۰ نیوتون با سرعت خطی ثابت  $0.75\text{ m/s}$  بر ثانیه در مسافت ۱۰۰۰ متر انجام شد. ضریب اصطکاک بین پین و سطح سایند از تقسیم بار افقی به نیروی اعمالی توسط یک لود سل کالیبره اندازه گیری شد. جهت تعیین مکانیزم‌های سایشی سطوح فرسوده و براده‌های سایشی در تمامی بارهای اعمالی توسط SEM بررسی شدند.



شکل ۲. تصویر دستگاه پین بر روی دیسک استفاده شده.

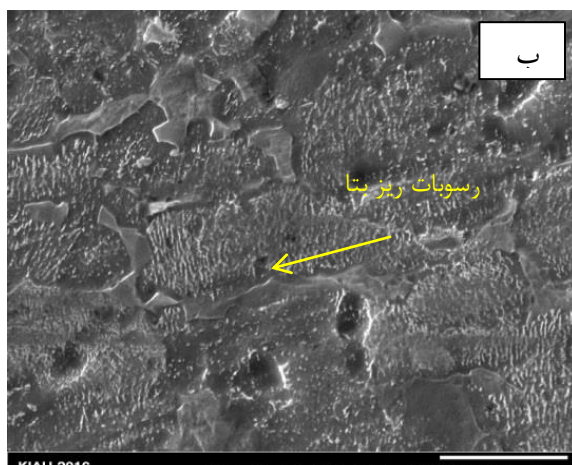
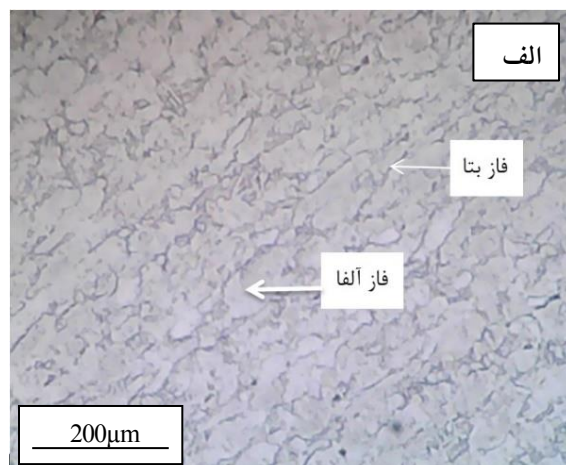
می‌شوند [۱۷]. نمونه ۳ که در دمای  $950^{\circ}\text{C}$  درجه سانتی گراد به مدت ۱ ساعت آنلیل و در آب کوئنچ شده است، به جهت پایین بودن دما ساختارش در بر دارنده  $\alpha$  اولیه است. با توجه به نرخ بالای کوئنچ فرصت لازم برای جوانه‌زنی و رشد رسوبات مهیا نخواهد بود، به همین جهت  $\alpha'$  سوزنی یا همان فاز مارتنتزیت را می‌توان در ساختار مشاهده نمود [۲۰ و ۱۸]. در شکل ۵ تصویر SEM از ریزساختار نمونه ۳ نشان داده شده است. در این تصویر دانه‌های شبکه‌کروی  $\alpha$  اولیه با رسوبات فاز  $\beta$  در زمینه مارتنتزیت مشاهده می‌شوند.



شکل ۵. تصویر SEM ریز ساختار نمونه ۳ شامل ذرات  $\beta$  دانه‌های اولیه و تیغه‌های مارتنتزیت.

در نمونه ۴ با وقوع استحاله  $\beta \rightarrow \alpha$  در درمای  $1000^{\circ}\text{C}$  درجه سانتی گراد، تمام فاز  $\alpha$  با ساختار hcp به فاز  $\beta$  با ساختار کریستالی bcc تبدیل می‌شود. با کوئنچ در آب به دلیل نرخ بالای سرد شدن تمام فاز  $\beta$  طی یک استحاله مارتنتزیت به مارتنتزیت تبدیل می‌شود، پیرو عملیات محلول سازی عملیات پرسختن نیز انجام می‌گردد که انتظار می‌رود در این مرحله فاز مارتنتزیت که یک فاز غیرتعادلی و فوق اشباع از  $\beta$  است به دو فاز  $\alpha$  و  $\beta$  تجزیه شود [۱۹].

تفاوت عمدۀ ساختار دو نمونه ۱ و ۲ می‌توان به رشد فازهای  $\alpha$  و  $\beta$  بر اثر حرارت و ذرات رسوبی رشد کرده در نمونه ۲ بر اثر حرارت دهی دانست. در شکل ۴ ب تصویر SEM رسوبات ریز و رشد کرده فاز  $\beta$  در درون فاز  $\alpha$  را نشان داده است.



شکل ۴. ریز ساختار نمونه ۲. الف) تصویر OM از دو فاز  $\alpha+\beta$  و ب) تصویر SEM رسوبات ریز  $\beta$  درون زمینه  $\alpha$ .

ریزساختار آلیاژ Ti-6Al-4V توسط نرخ کوئنچ از بازه دمایی  $800^{\circ}\text{C}$  تا  $1000^{\circ}\text{C}$  درجه سانتی گراد که مربوط به منطقه استحاله فازی این آلیاژ است کنترل می‌شود. تحقیقات قبلی نشان دادند که اندازه، مورفولوژی، جهت‌گیری و توزیع فاز  $\alpha$  در خواص مکانیکی این آلیاژ موثر است، که کلیه این عوامل توسط پارامترهای عملیات حرارتی کنترل

### سختی

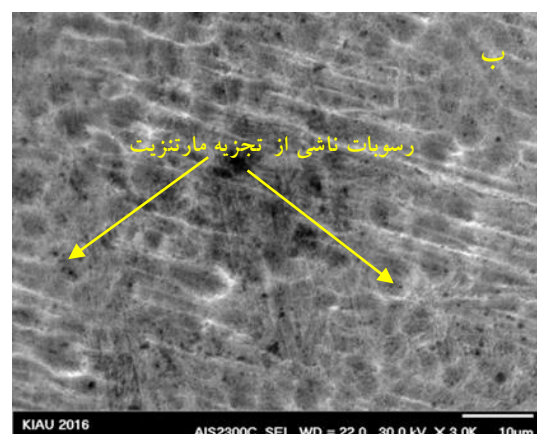
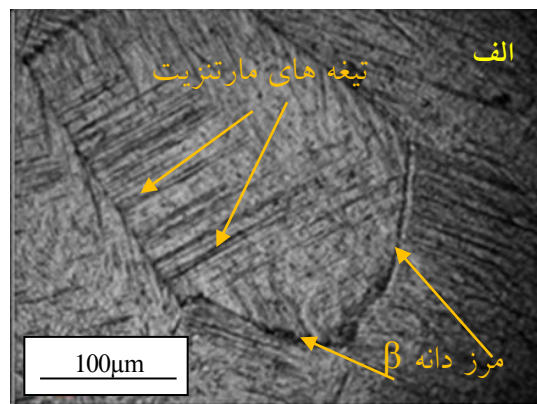
در نمودار شکل ۷ تأثیر عملیات حرارتی گوناگون بر سختی نمونه‌ها نشان داده شده است. در نمونه ۲ به دلیل بزرگ شدن رسوبات در فاز  $\alpha$  نسبت به نمونه خام، سختی بیشتری حاصل می‌شود.



شکل ۷. تغییرات سختی تحت تأثیر عملیات حرارتی و ریزساختارهای مختلف.

در نمونه سوم با تشکیل ساختار مارتنتزیت و به دلیل این‌که مارتنتزیت فازی با دانسیته بالایی از نابجایی‌ها و دوکلویی‌ها است، به‌دنبال آن سختی بالاتری حاصل می‌شود. وجود این حجم از نابجایی و دوکلویی خود به عنوان مانعی در برابر حرکت نابجایی‌ها عمل کرده و باعث افزایش سختی و استحکام می‌گردد، اما از طرف دیگر مارتنتزیت تشکیل شده در آلیاژهای تیتانیوم نسبت به مارتنتزیت تشکیل شده در آلیاژهای فولاد استحکام‌دهی کمتری دارد و در نتیجه سختی کمتری حاصل می‌شود.<sup>[۱۰]</sup> و <sup>[۲۱]</sup>، همانطور که از مقادیر سختی در نمودار شکل ۷ قابل مشاهده است، در نمونه ۲ در اثر بزرگ شدن رسوبات، سختی نسبت به نمونه خام، تقریباً ۱۳٪ درصد افزایش یافته است. نمونه ۳ نسبت به نمونه خام افزایش تقریباً ۱۶٪ سختی را داشته است. در نتیجه تشکیل فاز مارتنتزیت استحکام‌دهی بیشتری نسبت به بزرگ شدن رسوبات ناشی از عملیات حرارتی داشته است. موریتا و همکارانش با انجام سختی سنجی بر روی فازهای نمونه عملیات حرارتی شده گزارش کردند که فاز  $\alpha$  در افزایش

با تجزیه مارتنتزیت و تشکیل رسوبات، رسوبات نامنظم بتا در نابجایی‌ها و لایه‌های  $\beta$  در مرزهای صفحات تشکیل می‌شوند.



شکل ۶. ریز ساختار نمونه ۴. (الف) تصویر OM بعد از محلول سازی شامل تیغه‌های مارتنتزیت و (ب) تصویر SEM پس از پیرسازی شامل رسوبات تجزیه شده از مارتنتزیت.

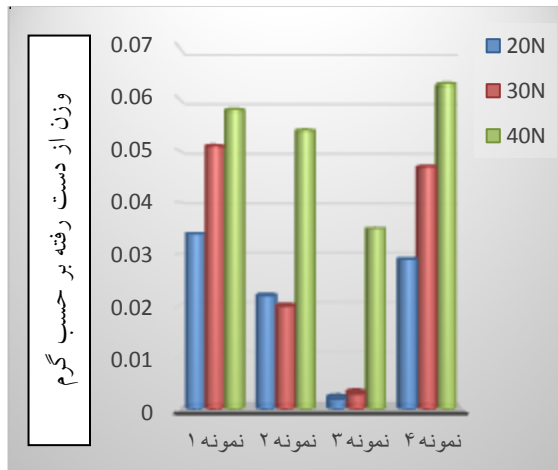
تصاویر به دست آمده شکل ۶-الف از نمونه شماره ۴ در مقایسه با تصاویر منابع و تحقیقات سایر محققین [۱۹ و ۲۰] بیانگر یک ساختار کاملاً مارتنتزیتی است که در تصاویر دانه‌های بتا اولیه قابل مشاهده است که فاز مارتنتزیت در اثر استحکام مارتنتزیتی در آن تشکیل شده و ساختار سوزنی شکل مارتنتزیت در تصاویر به خوبی مشخص است. در شکل ۶-ب رسوبات ناشی از تجزیه مارتنتزیت در حین پیرسازی را می‌توان مشاهده نمود.

mekanizm bresh xorudn drazat be wsiyeh nabijsayi ha dr mrahal evelie pjer sختي، yunhi hengamki ke rsoob ha darai fchil mshtrk hem sima ba zmineh hestnd，fual ast. dr sotri ke mekanizm doum yunhi dor zden drazat be wsiyeh nabijsayi ha mعمولا در مورد رسووب های پیر سخت شده، رسووب های بزرگتر یا ناخالصی های با وقوع می پیوندد [۲۴].

dr hali ke drazat kochk ya nrm basnd، nabijsayi ha drazat rabeide و tغيير shkel mi dehnd، althe dr sotri ke tns وارد be andazhe kafvi ziad basd. dr ntijeh kar lazm jhet ubur nabijsayi ha evelie az ein rsoob dr tuiyen tns silan bsiyar mem est [۲۴ و ۲۳].

### سايش

nomdar kahesh wzn nmonha bud az azmon sotis dr se bbar ۲۰، ۳۰ و ۴۰ niyton و masft ۱۰۰۰ mtr ba sreut ۰/۳ mtr br thanieh dr shkel ۸ nshan dade shde ast. anttzar mi rood ke afzayis bar sbeb tgiir dr mekanizm sotis shde basd.



شکل ۸ میزان وزن از دست رفته نمونه ها تحت بارگذاری های متفاوت.

بررسی نمودارهای کاهش وزن نمونه های ۱ تا ۴ در حالت بارگذاری ۲۰ نیوتون نشان می دهد که همانطور که انتظار

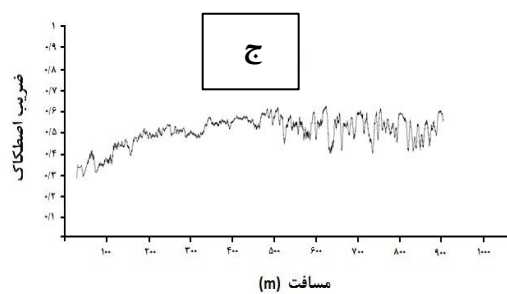
sختi در nmonhehai ke zir dmri asthalo  $\alpha$  be  $\beta$  umiliat harati shde and و nrx srd shdn anha km و ya tadalii ast，bi tashir ast [۱۹ و ۲۰]. dr nmon ۴ hemantoor ke dr matlab qbl biyan shd، ba angam moloulasazri و xnk krdn dr Ab saxtar kamala marntziti bdsht mi ayid ke tskil ayn saxtar xod moyid br sختi bla ast，ba angam pirsazi nyz ba tجزie marntzit و tskil rsoobat sختi afzayis bishtri pidia mi knd. do mekanizm bray afzayis sختi dr ater pirsazi mi twn dr nfr gرفت: (الف) tجزie faz marntzit be do faz  $\alpha$  و (ب) tskil faz  $\alpha_2$  ya  $Ti_3Al$ .

ba tojhe be ayn ke dmri pirsazi ۵۵۰ drجه santi grad ast و faz  $\alpha_2$  dr dmahay ۵۰۰-۵۵۰ dr saxtar hal mi - shod ayn mekanizm nm tواند mord qbol wacq shod. dr Aliaz  $Ti_3Al$  dmri mololit  $Ti-6Al-4V$  ۵۰۰-۵۵۰ drجه santi grad ast be ayn muna ke ager dmri pirsazi kmtr az ۵۰۰ drجه anttakab shod dr hin umiliat drazat  $Ti_3Al$  dr faz  $\alpha$  rsoob mi knd و mngr ۵۵۰ be afzayis sختi mi shod am aker dmri pirsazi ۵۵۰ drجه santi grad ya ballat anttakab shod ayn faz dr saxtar hal shde و umiliat pirsazi mannd yk umiliat tns zdayi rftar mi knd و tashir dr sختi ndard [۱۰ و ۲۲]، dr ntijeh sختi be dst amde nashi az tجزie marntzit be do faz  $\alpha$  و  $\beta$  ast.

rsoobat  $\alpha$  و  $\beta$  tskil shde dr ater tجزie marntzit و ya be tur kly rsoobat tskil shde dr ater pirsazi ba nabijsayi ha dr hal hrkt andrkish dardn ke bauh afzayis sختi و asthkam flz mi shond. afzayis asthkam be uwamal mxtlfvi az qbil andazh، fasle، nou rsoob و ... bstgki dard. drazat faz doum be do rosh kamla mtfawat mi tواند hrkt nabijsayi ha ra knd kntd:

(۱) brideh shdn rsoob ha towsat nabijsayi ha

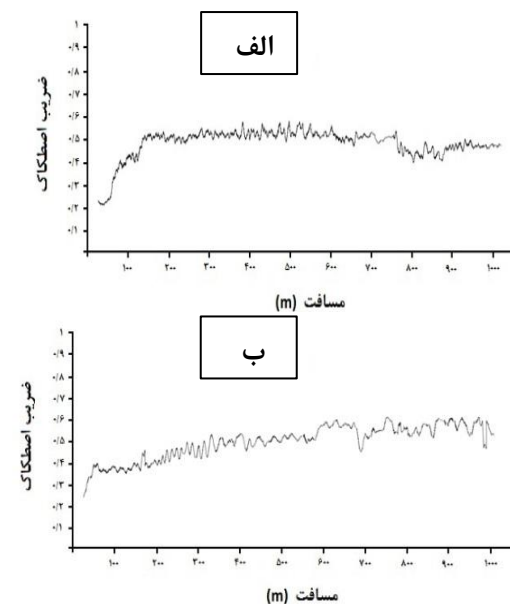
(۲) dor zden rsoob ha [۲۴ و ۲۳].



شکل ۹. نمودار ضریب اصطکاک نمونه ها در بارگذاری ۳۰ نیوتن.  
الف) نمونه ۱، ب) نمونه ۲ و ج) نمونه ۴.

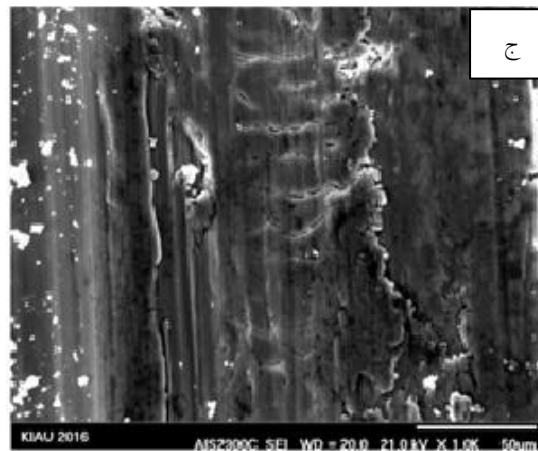
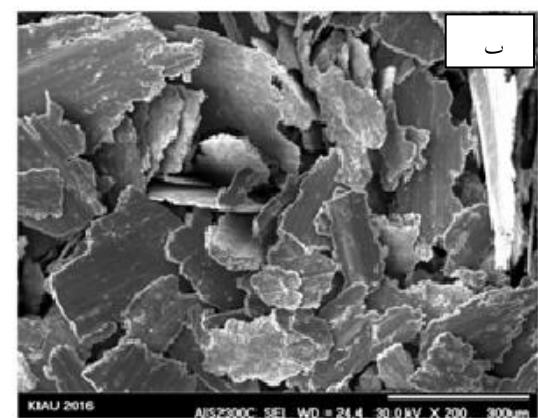
تغییرات ضریب اصطکاک در طول فرآیند سایش برای نمونه های مورد بررسی در سه بار اعمالی ۲۰، ۳۰ و ۴۰ نیوتن برای مقایسه در شکل ۹ ارایه شده است. برای بررسی هرچه دقیق تر رفتار سایشی نمونه ها از سطوح فرسوده و ذرات سایشی تصاویر SEM با آشکار ساز الکترون ثانویه تهیه گشت. تصویر سطوح فرسوده نمونه ۱ در بار اعمالی ۲۰ نیوتن در شکل ۹ ارایه شده است. بررسی سطح سایش نمونه شماره ۱ در بار ۲۰ نیوتن وجود شیارهای میکرونی را در سطح سایش و در راستای سایش انجام گرفته نشان می دهد. مکانیزم عمدۀ حاکم در این سایش ایجاد خراش های ریز (سایش خراشان) است. این مساله به سبب سختی کم نمونه مذکور صورت گرفته است. وجود ترک در سطح سایش مشاهده نشد که می تواند نشان دهنده انعطاف پذیری مناسب در این بار اعمالی و در شرایط سایش اعمال شده باشد. تصویر تهیه شده از براده های حاصل از آزمون سایش در این نمونه نشان دهنده وجود تکه های فلز است. در شکل های ۱۱ و ۱۲ تصاویر سطوح سایشی نمونه شماره ۱ در بارهای ۳۰ و ۴۰ نیوتن آورده شده است. همانطور که از تصاویر تهیه شده از بارگذاری ۳۰ نیوتنی مشخص است، در اثر فرآیند سایش، مسیرهایی بر روی سطوح ساییده شده ایجاد شده است.

می رفت نمونه خام یا مرجع دارای بیشترین مقدار کاهش وزن به نسبت نمونه های دیگر باشد. با ارزیابی نمودارهای سنتونی مربوط به حالات ۳۰ و ۴۰ نیوتن نیز می توان مشاهده کرد که با افزایش بارگذاری، میزان کاهش وزن نمونه ها افزایش یافته است. نتایج حاصل از آزمون سختی سنجی نشان می دهد که سختی نمونه ها از شماره ۱ تا ۴ افزایش می یابد. این موضوع در نمودارها به وضوح قابل مشاهده است که با افزایش سختی، میزان اتلاف وزن، کاهش می یابد اما نمونه شماره ۴ که دارای بیشترین مقدار سختی است، دارای مقدار کاهش وزن بسیار بیشتری به نسبت دو نمونه ۲ و ۳ بوده و حتی در شکل ۸ نیز مشاهده می شود که این مقدار حتی بیشتر از نمونه مرجع نیز هست. این مساله می تواند ناشی از آن باشد که در واقع مقاومت سایشی با افزایش سختی بعد از انحلال و کونچ و در بی آن پیرسازی، کاهش می یابد، این بدان علت است که مقاومت سایشی خراشان بطور قابل توجهی از مشخصات ریزساختاری آلیاژ Ti-6Al-4V تأثیر می پذیرد تا سختی آن [۲۵].



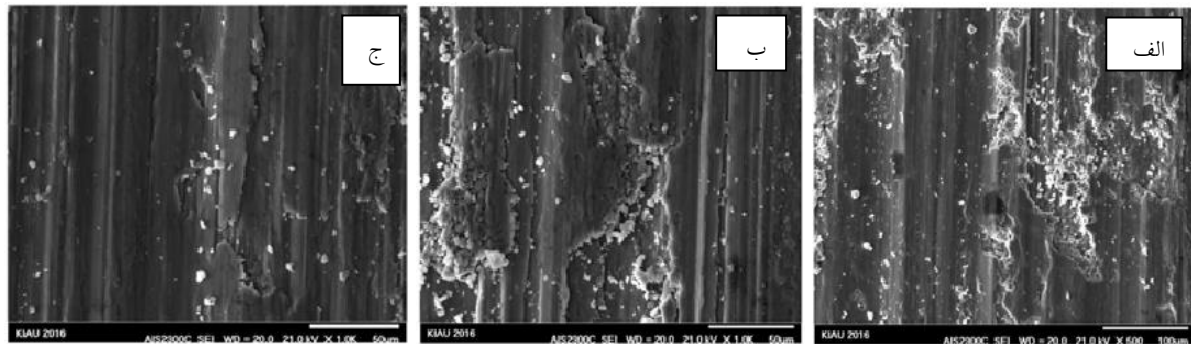
است که این مساله می‌تواند ناشی از اعمال بار بیشتر به نمونه باشد. در شکل ۱۲ تصاویر تهیه شده از بارگذاری ۴۰ نیوتن نمونه ۱ آورده شده است. مکانیزم سایش غالب مشاهده شده در این بارگذاری نیز از نوع سایش خراشان بوده و این مساله به وضوح در تصاویر تهیه شده مشخص است. از طرف دیگر در برخی از مناطق کندگی‌هایی نیز دیده می‌شود. این مناطق درواقع بیانگر این هستند که مکانیزم سایشی کندگی نیز رخ داده است. این موضوع نشان دهنده میزان بار زیادی است که بر نمونه وارد شده است. شکل ۱۲-ج که سطح سایشی نمونه را در بزرگنمایی ۵۰۰ برابر نشان می‌دهد، می‌توان ذرات اکسیدی را بر روی سطح به وضوح مشاهده کرد. سطح سایش و براده‌های سایشی نمونه‌های شماره ۲، ۳ و ۴ در بارگذاری‌های مختلف در شکل‌های ۱۲ تا ۱۵ آورده شده است.

بررسی تصاویر میکروسکوپی الکترونی روبشی تهیه شده از نمونه‌ها تحت بارگذاری‌های مختلف، نشان می‌دهد که مکانیزم سایشی غالب در اکثر آنها سایش خراشان است. بررسی کلی سطوح سایشی نمونه‌ها نشان می‌دهد که با افزایش نیرو ترکیبی از دو مکانیزم سایش اتفاق می‌افتد. در واقع، هنگامی که نمونه قابلیت شکل‌پذیری مناسبی داشته باشد، بر روی سطح ساییده شده آن، مسیرهای سایشی بصورت خراش بوجود می‌آید اما هنگامی که نمونه ترد باشد دچار کندگی‌هایی نیز می‌شود.

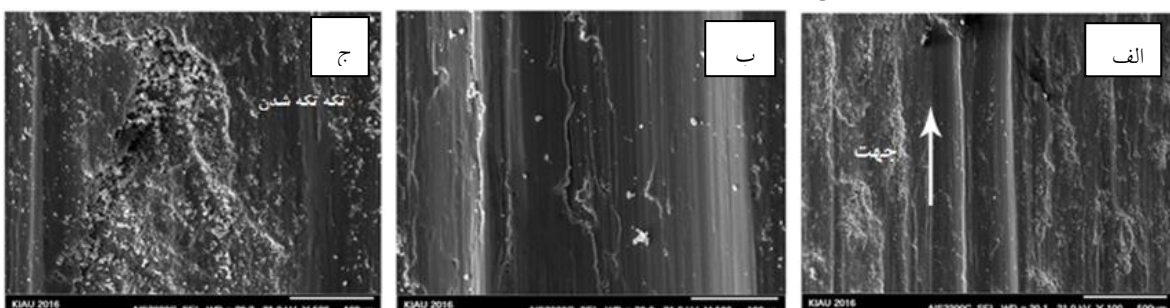


شکل ۱۰. سطح فرسوده و براده‌های نمونه شماره ۱ در بار اعمالی ۲۰ نیوتن، (الف) بزرگنمایی ۲۰۰ برابر، (ب) براده‌های حاصل از ۲۰ نیوتن بار، (ج) بزرگنمایی ۱۰۰۰ برابر.

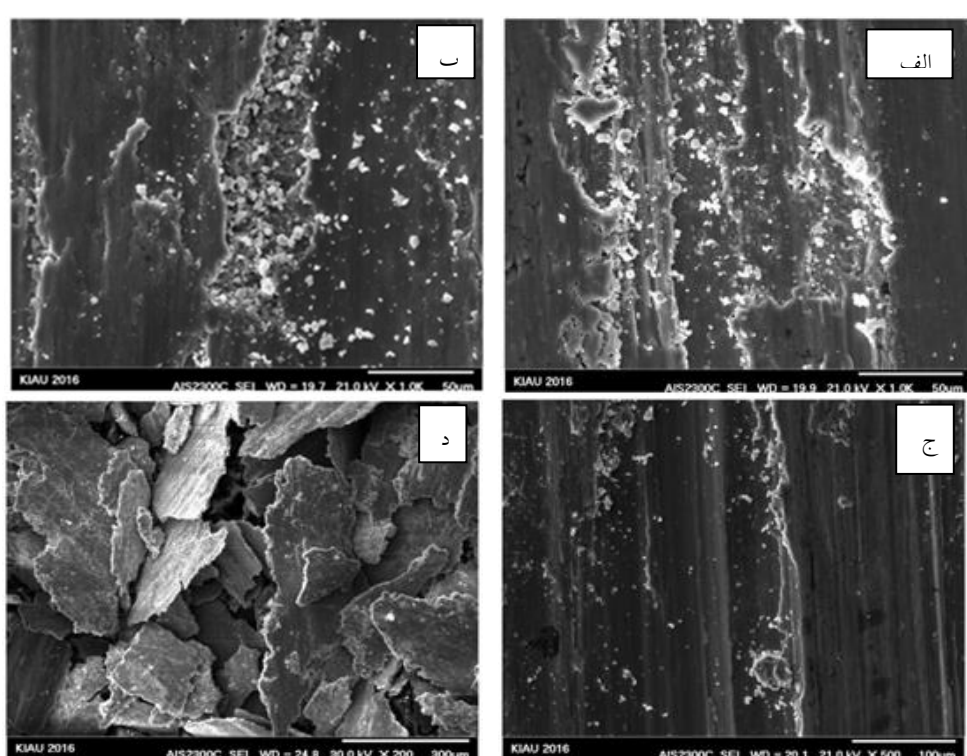
این مسیرها نشان دهنده این موضوع هست که نمونه دارای سختی کمی است. همانطور که از شکل ۱۱-ب مشخص است در سطح تحت سایش، تکه‌تکه شدگی اتفاق افتاده



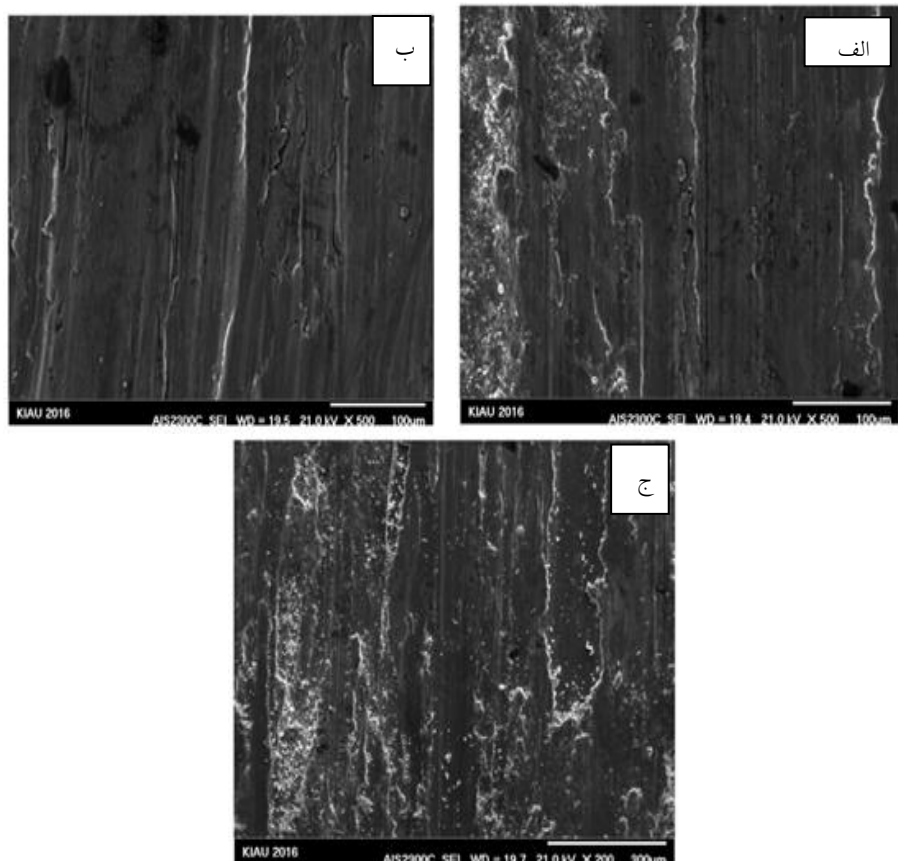
شکل ۱۱. سطح سایش نمونه شماره ۱ در بار اعمالی ۳۰ نیوتن در بزرگنمایی‌های مختلف.



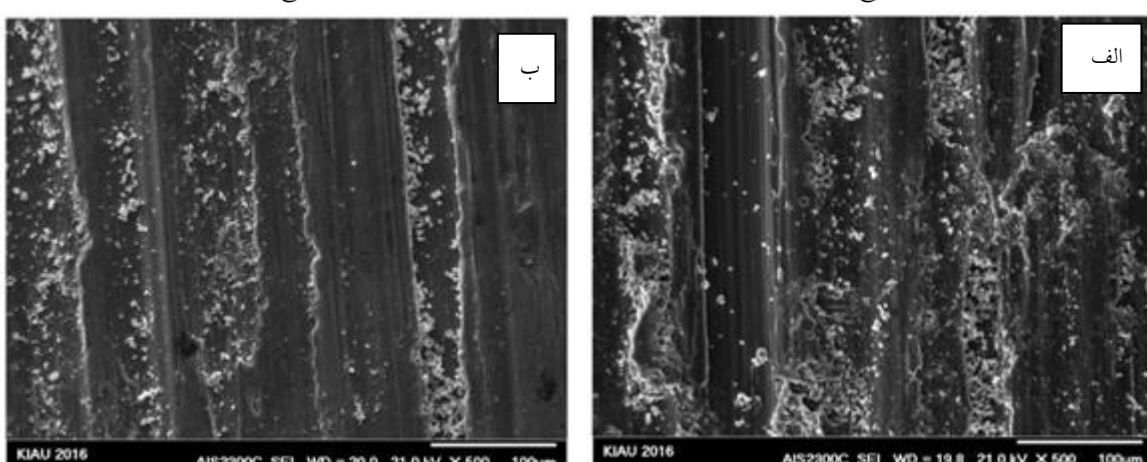
شکل ۱۲. سطح سایش نمونه شماره ۱ در بار اعمالی ۴۰ نیوتن در بزرگنمایی‌های مختلف.

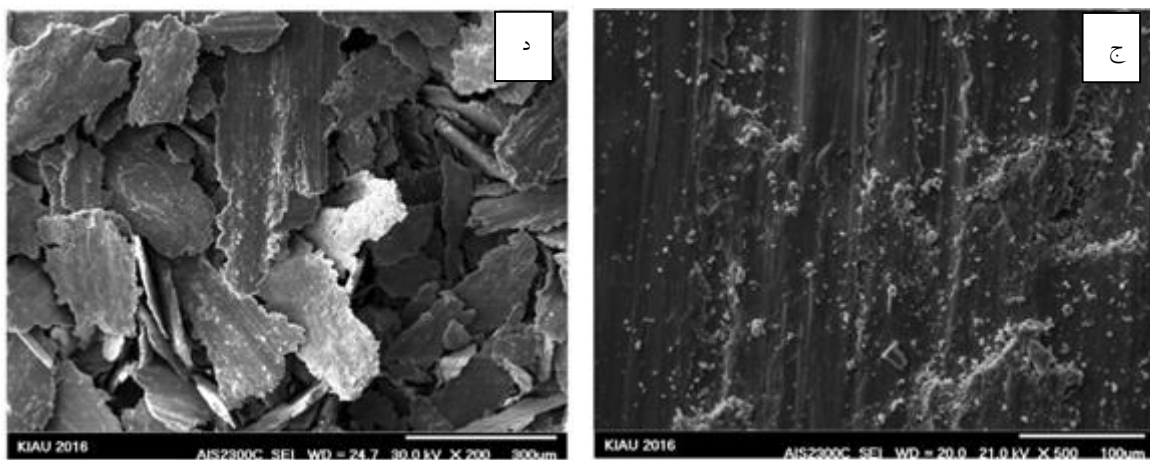


شکل ۱۳. سطح سایش نمونه شماره ۲ در بار اعمالی، (الف) ۲۰ نیوتن، (ب) ۳۰ نیوتن، (ج) ۴۰ نیوتن.



شكل ۱۴. سطح سایش نمونه شماره ۳ در بار اعمالی، (الف) ۲۰ نیوتون، (ب) ۳۰ نیوتون، (ج) ۴۰ نیوتون.





شکل ۱۵. سطح سایش نمونه شماره ۴ در بار اعمالی، (الف) ۲۰ نیوتن، (ب) ۳۰ نیوتن، (ج) ۴۰ نیوتن.

3. V. KrishnaBalla, J. Soderlind, S. Bose, A. Bandyopadhyay, *Microstructure, mechanical and wear properties of laser surface melted Ti6Al4V alloy*, Journal of the Mechanical Behavior of Biomedical Materials, 32(2014)335–344.
4. F. Yang, B. Gabbitas, *Effect of heat treatment on microstructures and mechanical properties of a Ti-6Al-4V alloy rod prepared by powder compact extrusion*, International Journal of Modern Physics B, 29(2015), Nos. 10&11, 1540004 (7 pages).
5. S. Manikandan1, S. Ramanathan, V. Ramakrishnan., *A Calorimetric Study of Ti-6Al-4V Alloy*, Indian Journal of Science and Technology, 6(2013) 4262-4267.
6. Y. C. Lin, Y. C. Lin, Y. C. Chen, *Evolution of the microstructure and tribological performance of Ti-6Al-4V cladding with TiN powder*, Materials & Design, 36(2012)584–589.
7. Y. C. Lin, Y. C. Lin, *Elucidation of microstructure and wear behaviors of Ti-6Al-4V cladding using tungsten boride powder by the GTAW method*, Journal of Coatings Technology and Research, 8(2011) 247–253.
8. G. W. Stachowiak, *Wear: Materials, Mechanisms and Practice* ", John wiley & Sons, (2005)1-44.
9. T. Morita, K. Asakura, C. Kagaya, *Effect of Combination Treatment on Wear Resistance and Strength of Ti-6Al-4V Alloy*, Materials Science and Engineering A, 618(2014)438-446.
10. B. D. Venkatesh, D. L. Chen, S. D. Bhole, *Effect of heat treatment on mechanical*

### نتیجه‌گیری

از بررسی یافته‌های تحقیق حاضر نتایج ذیر حاصل می‌گردد:

(الف) افزایش دمای آنیل تا دمای ۹۵۰ درجه سانتی گراد و سپس کوئنچ در آب منجر به تشکیل ساختاری شامل فاز اولیه و ذرات  $\beta$  پراکنده در دانه‌های  $\alpha$  به همراه فاز مارتینزیت تیغه‌ای  $\alpha'$  می‌شود.

(ب) انجام سیکل عملیات حرارتی محلول‌سازی منجر به تشکیل ساختار مارتینزیت در آلیاژ می‌شود اما اگر نمونه پس از آن تحت عملیات پرسازی قرار بگیرد مارتینزیت تجزیه شده و درنتیجه رسوبات نامنظم بتا در زمینه تشکیل خواهد شد.

(ج) نتایج بدست آمده از نمودارهای کاهش وزن نشان می‌دهد که مقاومت سایشی با افزایش سختی بعد از کونچ‌پرسازی، کاهش می‌یابد.

(د) بررسی سطح سایش نمونه‌ها نشان داد که سایش بیشتر با مکانیزم ایجاد خراش انجام می‌شود.

### مراجع

1. G. Lutjering, J. C. Williams, *Titanium*, Springer, Berlin(2003)1-14.
2. M. J. Donachi, *Titanium – a technical guide*, 2<sup>nd</sup> edn, ASM International, Metals Park, OH (2000) 61-89.

4V alloy Submitted to heat treatments, Brazilian Dental Journal, 17(2006) 126-129.

22. ASM Metals Handbook, ASM international, Vol. 2: Properties and Selection: Nonferrous Alloys and Special-Purpose Materials, (1992).

23. D. A. Porter, *Phase Transformation in Metals and Alloy*, Chapman & Hall, (1992).

۲۴. رزاقیان احمد، مقدمه ای بر اصول نابه جایی ها و مکانیزم های استحکام بخشی، انتشارات جهاد دانشگاهی واحد قزوین، ۱۳۹۱.

25. S. Hadke, R. K. Khatirkar, *Microstructure Evolution and Abrasive Wear Behavior of Ti-6Al-4V Alloy*, Journal of Materials Engineering and Performance, 24(2015)3969-3981.

properties of Ti-6Al-4V ELI alloy , Materials Science and Engineering A, 506(2009)117-124.

11. M. T. Jovanovic, S. Tadic, S. Zec, Z. Miskovic, I. Bobic, *The effect of annealing temperatures and cooling rates on microstructure and mechanical properties of investment cast Ti-6Al-4V alloy*, Materials & Design, 27(2006)192-199.

12. T. Morita, S. Tanaka, S. Ninomiya, *Improvement in fatigue strength of notched Ti-6Al-4V alloy by short-time heat treatment*, Materials Science and Engineering A, 669(2016)127-133.

13. ASTM E92-16, Standard Test Methods for Vickers Hardness and Knoop Hardness of Metallic Materials " ASTM, (2016).

14. ASTM G99., (2017), Standard Test Method for Wear Testing with a Pin-on-Disk Apparatus.

15. S. Tanaka, T. Morita, K. Shinoda, *Effects of Short-Time Duplex Heat Treatment on Microstructure and Fatigue Strength of Ti-6Al-4V Alloy*, 13th International Conference on Fracture, Beijing, China, (2013).

16. T. Morita, K. Hatsuoka, T. Iizuka, K. Kawasaki, *Strengthening of Ti-6Al-4V Alloy by Short-Time Duplex Heat Treatment*, Materials Transactions, 46(2005)1681- 1686.

17. S. S. Youssef, K. M. Ibrahim, M. Abdel-Karim, *Effect of heat treatment process on tribological behavior of TI-6AL-4V alloy*, International Journal of Mechanical Engineering and Robotics Research, 2 (2013) 385-394.

18. I. Cvijovic-Alsgic, S. Mitrovic, Z. Cvijovic, Đ. Veljovic, M. Babic, M. Rakin., *Influence of the Heat Treatment on the Tribological Characteristics of the Tibased Alloy for Biomedical Applications*, Tribology in industry, 31(2009) 17-22.

19. F.H. Froes, *Titanium Physical Metallurgy Processing and Applications*, ASM International, (2015).

20. A. Gheysarian, M. Abbasi, *The Effect of Aging on Microstructure, Formability and Springback of Ti-6Al-4V Titanium Alloy*, Journal of Materials Engineering and Performance, 26(2017) 374-382.

21. S. Soares, G. Luis, *Vickers Hardness of Cast Commercially Pure Titanium and Ti-6Al-*